

# حل دو نوع مسأله معکوس هدایت حرارت با استفاده از روش اجزاء مرزی

قدرت ا... کرمی  
استاد

بخش مهندسی مکانیک، دانشگاه شیراز

محمد رحیم همتیان  
استادیار

بخش مهندسی هسته‌ای، دانشگاه شیراز

## چکیده

در این مقاله روشی برای آنالیز اجزاء مرزی مسأله معکوس هدایت حرارت غیرخطی شامل منابع تولید حرارت نقطه‌ای و خطی ارائه می‌شود. اثر منابع تولید حرارت نقطه‌ای و خطی به طور دقیق و بدون احتیاج به انتگرال گیری در دامنه اعمال می‌شود. در رابطه با منابع تولید حرارت دو نوع مسأله معکوس تعریف می‌شود. در مسأله معکوس نوع اول، هدف بدست آوردن شدت منابع تولید حرارت برای دستیابی به شرایط مورد نظر در نقاط مختلف دامنه یا مرز است و در مسأله معکوس نوع دوم مجهول مسأله محل و وضعیت قرار گرفتن منبع تولید حرارت است. مسأله معکوس نوع اول ناسالم (Ill-posed) و مسأله معکوس نوع دوم يك مسأله بهینه‌سازی چند متغیره است. برای هموارسازی جواب‌های حاصل از مسأله معکوس نوع اول از روش حداقل مربعات (Least squares) با افزودن جمله هموارساز استفاده گردیده است و برای حل مسأله بهینه‌سازی مربوط به مسأله معکوس نوع دوم يك روش با مرتبه مشتق گیری صفر پیشنهاد شده است. هنگامی که ضریب هدایت حرارت به دما وابسته باشد در مسأله رفتار غیرخطی ظاهر می‌شود. در اینجا با استفاده از تبدیل کیرشهف (Kirchhoff) رفتار غیرخطی به مرز انتقال داده شده است تا احتیاجی به تقسیم‌بندی دامنه نباشد.

## *Solution to Two Types of Inverse Heat Conduction Problems by Boundary Elements Method*

M. R. Hematiyan  
Assistant Professor

Department of Nuclear Engineering,  
Shiraz University

G. Karami  
Professor

Department of Mechanical Engineering,  
Shiraz University

### Abstract

*A method for the analysis of inverse nonlinear heat conduction having point or line distributed heat sources is presented. The contribution due to the loading vector coming from either point or line heat sources integrals are evaluated analytically and in an exact manner. The inverse solution may be categorized into; finding either the solution of the problem in the form of the intensity of the loading at a specific location or finding the location and orientation of the generators assuming the intensity is known. The first category is an ill-posed type problem, whereas the solution to the second category type problems may be found by an optimization procedure. To regularize the solution to the first category type, least squares method is employed in conjunction with an addition of regularization term. To find the solution to the second category a new algorithm to be called "A Good Neighbouring" is devised which make use of derivatives of order zero. For the problems with thermal conductivity temperature dependent a nonlinear behaviour is expected which would be dealt with Kirchhoff's transformation. The efficiency and accuracy of the methods are explored through several examples.*

روش اجزاء مرزی (BEM) به عنوان یک الگوریتم محاسباتی نسبتاً دقیق کاربردهای فراوانی در حل مسائل مختلف پیدا کرده است. با استفاده از این روش مسأله هدایت حرارت و مسائل شبیه آن توسط محققینی در این زمینه [1-3] مدل سازی شده است. اما در مورد بکارگیری آن در حل مسأله معکوس انتقال حرارت فقط در سال های اخیر اقداماتی شروع شده است که در این مورد می توان به مراجع [5-9] اشاره نمود. بعضی از محققین [4, 5]، مسائل معکوس هدایت حرارت دائمی و تعدادی از آنها به حل مسائل معکوس هدایت حرارت گذرا [5-9] پرداخته اند. در اغلب این تحقیقات هدف از حل مسأله معکوس بدست آوردن شرایط مجهول در قسمت هایی از مرز بوده است [5-9]. مارتین (Martin) و دالیک رویچ (Dulikravich) [4] در حل مسأله معکوس علاوه بر شرایط مرزی، شدت منبع تولید حرارت گسترده در نقاط مختلف دامنه را نیز به عنوان مجهول مسأله در نظر گرفته اند. آنها برای اعمال اثر منبع تولید حرارت گسترده دامنه را تقسیم بندی کرده و انتگرال گیری مربوط به منابع تولید حرارت را روی دامنه انجام داده اند. سیلوانتو (Silva Neto) و ازیسیک (Ozisk) [10] به حل نوعی از مسأله معکوس هدایت حرارت یک بعدی پرداخته اند که در آن مکان و شدت یک منبع نقطه ای نسبت به زمان مجهول بوده است. آنها این مسأله معکوس را بدون استفاده از روش اجزاء مرزی و با بکارگیری روش گرادیان مزدوج (Conjugate gradient) حل کرده اند.

در این مقاله منابع تولید حرارت از نوع نقطه ای و خطی در نظر گرفته شده اند. در منبع نقطه ای، تولید حرارت در یک نقطه و در منبع خطی تولید حرارت روی یک پاره خط متمرکز است. منبع تولید حرارت خطی به صورتی در نظر گرفته می شود که دارای شدتی با توزیع خطی در طول منبع باشد. با استفاده از منبع خطی می توان تولید حرارت روی یک مسیر دلخواه با شدت دلخواه را نیز مدل سازی نمود. اثر منبع تولید حرارت خطی به صورت یک انتگرال یک بعدی ظاهر می شود که حاصل این انتگرال به صورت تحلیلی و دقیق بیان می گردد. بررسی منابع تولید حرارت نقطه ای و خطی دارای کاربردهای عملی است که برای نمونه می توان به طراحی حرارتی قطعات الکترونیکی اشاره نمود.

در رابطه با منابع نقطه ای و خطی دو نوع مسأله معکوس را می توان تعریف کرد. در نوع اول محل و وضعیت منبع مشخص است و باتوجه به معلومات اضافی که در نقاط داخلی دامنه یا روی مرز داده شده است باید شدت منبع را محاسبه نمود. در این حالت برای هر منبع نقطه ای یک مجهول و برای هر منبع خطی دو مجهول (شدت در ابتدا و انتها) در نظر گرفته می شود. در حل مسأله مستقیم هدایت حرارت در صورت وجود خطا در شرایط مرزی و اطلاعات ورودی تأثیر آن در دماهایی که در داخل دامنه بدست می آید نسبتاً کم می باشد [11]، به عبارت دیگر مسأله مستقیم هدایت حرارت یک مسأله سالم (Well-posed) می باشد، در صورتیکه مسائل معکوس نسبت به اطلاعات ورودی بسیار حساس هستند و اصطلاحاً ناسالم می باشند [12, 13]. حل مسأله معکوس به علت ناسالم بودن آن معمولاً به جواب های نوسانی منجر می شود و لازم است که در این مورد یک روش ویژه بکار گرفته شود. در این مورد می توان به روش حداقل مربعات با افزودن جمله هموار ساز [14]، روش تابش تشخیصی [13, 15] (Function specification) و روش هموارسازی تکراری (Iterative regularization) [16] اشاره نمود. همچنین در این رابطه روش های بهینه سازی گرادیان مزدوج (Conjugate gradient) [10, 17] نیز مورد استفاده قرار گرفته است.

در نوع دوم مسأله معکوس که در رابطه با منابع تولید حرارت تعریف می شود، شدت منبع مشخص است و باتوجه به معلومات اضافی که در نقاط داخلی دامنه یا روی مرز داده شده است، باید محل و وضعیت قرارگیری منبع را جستجو نمود. در مورد منبع نقطه ای باید مختصات آن و در مورد منبع خطی باید مختصات مرکز و جهت قرارگیری آن را بدست آورد. مسأله معکوس نوع دوم که از مسائل بهینه سازی است توسط یک روش ابتکاری تحت عنوان «یک همسایه خوب» حل می شود. روش یک همسایه خوب از لحاظ مشتق گیری در مرتبه صفر قرار دارد.

وقتی که ضریب هدایت حرارت به دما بستگی دارد، مسأله هدایت حرارت به صورت غیرخطی در می آید. با استفاده از تبدیل کیرشرف می توان رفتار غیرخطی را از معادله حاکم به شرایط مرزی منتقل نمود. هنگامیکه در شرایط مرزی رفتار غیرخطی وجود دارد با استفاده از

روش های تکرار ساده (Simple iteration) یا نیوتن (Newton) می توان دستگاه معادلات حاصل را حل نمود. بنابراین حتی در حالتی که مسأله هدایت حرارت دائمی غیرخطی است احتیاجی به تقسیم بندی دامنه نمی باشد.

## فرمولبندی اجزاء مرزی

معادله دیفرانسیل حاکم بر مسأله هدایت حرارت دائمی به صورت زیر بیان می شود:

$$\nabla \cdot (k(T) \nabla T) + g = 0 \quad (1)$$

در این معادله  $T$  معرف درجه حرارت است و  $g$  شدت منبع تولید حرارت را در نقاط مختلف دامنه بیان می کند.  $k(T)$  ضریب هدایت حرارت است که وابسته به دما در نظر گرفته شده است. این مسأله ممکن است تحت شرایط مرزی دیریشله (Dirichlet)، نیومن (Neumann) یا جابجایی قرار گیرد. همچنین شرط مرزی غیرخطی تشعشع نیز برای این مسأله قابل تعریف است. معادله غیرخطی هدایت حرارت را با تبدیل کیرشلف می توان به صورت خطی درآورد [18]. برای این منظور ابتدا یک متغیر جدید  $U$  به صورت زیر تعریف می شود.

$$U(T) = \int_0^T \frac{k(T')}{k_0} dT'$$

که در آن  $k_0$  مقدار ضریب هدایت حرارت در دمای صفر است. با استفاده از این تبدیل، معادله (1) به فرم خطی در می آید. برای ارضاء شرط مرزی نیومن رابطه زیر مورد استفاده قرار می گیرد.

$$\frac{\partial U}{\partial n} = \frac{k(T)}{k_0} \frac{\partial T}{\partial n}$$

نظر به اینکه معادله غیرخطی هدایت حرارت دائمی را با تبدیل کیرشلف می توان به صورت خطی درآورد، لذا بدون از دست دادن عمومیت، فرمولبندی مسأله را فقط برای حالتی که ضریب هدایت حرارت ثابت است بررسی می کنیم. با بکارگیری روش مستقیم اجزاء مرزی معادله انتگرالی هدایت حرارت به صورت زیر بدست می آید [19, 20].

$$C_i T_i + \int_{\Gamma} T \frac{\partial T_i^*}{\partial n} d\Gamma = \int_{\Gamma} T_i^* \frac{\partial T}{\partial n} d\Gamma + \frac{1}{k} \int_{\Omega} g T_i^* d\Omega \quad (2)$$

در معادله (2)  $\Gamma$  و  $\Omega$  به ترتیب مرز و دامنه مسأله را بیان می کنند.  $n$  جهت عمود بر مرز و  $i$  معرف نقطه ای از مرز یا دامنه است.  $C_i$  ضریب هندسی نقطه  $i$  است که برای نقاط داخل دامنه 1 و برای نقاط مرزی باتوجه به شکل هندسی محاسبه می شود.  $T_i^* = \frac{1}{2\pi} \ln \left( \frac{1}{r_i} \right)$  جواب اساسی و  $\frac{\partial T_i^*}{\partial n} = \frac{-1}{2\pi r_i^2} \mathbf{r}_i \cdot \mathbf{n}$  مشتق نرمال آن در مسأله دو بعدی است.  $r_i$  معرف بردار فاصله هر نقطه تا نقطه دید  $i$  است. مقدار این بردار با  $r_i$  مشخص شده است و  $n$  بیان کننده بردار واحد عمود بر مرز است. برای تبدیل معادله انتگرالی (2) به معادله ماتریسی، مرز مسأله به تعدادی المان مرزی تقسیم بندی می شود سپس هر یک از انتگرال های مرزی محاسبه می شوند. در این رابطه می توان به مرجع [19] اشاره کرد. در اینجا فقط نحوه محاسبه انتگرال مربوط به منبع تولید حرارت برای منابع نقطه ای و خطی بیان می شود.

## ۱-۲. محاسبه انتگرال دامنه ای منابع تولید حرارت

انتگرال دامنه ای  $\frac{1}{k} \int_{\Omega} g T_i^* d\Omega$  که اثر منابع تولید حرارت داخل دامنه را شامل می شود، در دو حالت بررسی می کنیم. در مورد اول حالتی را در نظر می گیریم که منبع تولید حرارت به صورت نقطه ای باشد و در مورد دیگر منبع تولید حرارت خطی را مورد بحث قرار می دهیم.

منظور از منبع تولید حرارت نقطه ای منبعی است که سطح آن به صفر میل می کند و دارای شدت  $G_M$  است یعنی:

$$g = G_M \delta(\mathbf{r} - \mathbf{r}_M) \quad (3)$$

در رابطه (3) موقعیت منبع که در نقطه  $M$  قرار دارد با  $r_M$  نشان داده شده است و  $\delta$  بیان کننده تابع دلتای دیراک است. انتگرال مربوط به منبع تولید حرارت نقطه ای به صورت زیر نوشته می شود.

$$I_D = \frac{-1}{2k\pi} \int_{\Omega} G_M \delta(\mathbf{r} - \mathbf{r}_M) \ln r_i d\Omega = \frac{-G_M}{2k\pi} \ln(r_i) \Big|_{\text{point } M}$$

در حالت دیگر که منبع از نوع خطی است، تولید حرارت روی یک پاره خط متمرکز است. شکل (1) دامنه  $\Omega$  را نشان می دهد که در آن یک منبع تولید حرارت خطی به طول  $l$  قرار داده شده است. شدت منبع در نقاط 1 و 2 به ترتیب  $g_1$  و  $g_2$  می باشد و در حد فاصل دو نقطه 1 و 2

$$a = g_1, \quad b = g_2 - g_1$$

$$c = l_g^2, \quad d = r_{12}^2 - l_g^2 - r_{11}^2, \quad \varepsilon = r_{11}^2$$

در روابط اخیر  $r_{12}$  و  $r_{11}$  بیان کننده فاصله نقطه دید  $i$  تا دو انتهای منبع خطی هستند، همچنین داریم:

$$I_1(a, b, c, d, e, g, h) = \int_g^h (a + b\xi) \ln \sqrt{c\xi^2 + d\xi + e} + ed\xi \\ = \left\{ a \left[ \xi \ln \sqrt{c\xi^2 + d\xi + e} - \frac{1}{2} I_2(2c, d, 0, c, d, e, 0, \xi) \right] + \frac{b}{4} \left[ \frac{d}{c} \xi - \xi^2 + 2\xi^2 \ln \sqrt{c\xi^2 + d\xi + e} - I_2(0, \frac{d^2}{c} - 2e, \frac{de}{c}, c, d, e, 0, \xi) \right] \right\}_{\xi=g}^{\xi=h} \quad (5)$$

در رابطه (5)،  $I_2$  انتگرال دیگری است که به صورت زیر به دست می آید

$$I_2(a, b, c, d, e, f, g, h) = \int_g^h \frac{a\xi^2 + b\xi + c}{d\xi^2 + e\xi + f} d\xi$$

برای وقتی که  $\varepsilon^2 - 4df \neq 0$  داریم

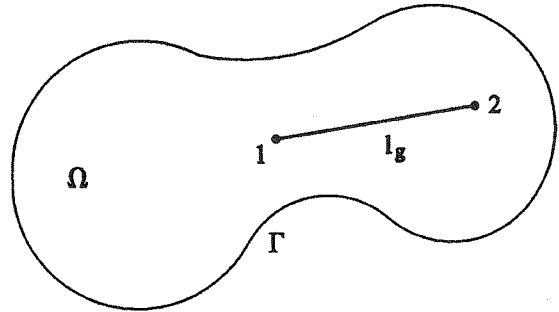
$$I_2(a, b, c, d, e, f, g, h) = \left\{ \frac{(b - ae)}{d} \xi + \frac{d}{2d} \ln \left( \xi^2 + \frac{e}{d} \xi + \frac{f}{d} \right) + \frac{1}{d^2} (cd - af - \frac{eb}{2} + \frac{ae^2}{2d}) \frac{1}{\sqrt{\frac{f}{d} - \frac{e^2}{4d^2}}} \tan^{-1} \frac{\xi + \frac{e}{2d}}{\sqrt{\frac{f}{d} - \frac{e^2}{4d^2}}} \right\}_{\xi=g}^{\xi=h}$$

و اگر  $\varepsilon^2 - 4df = 0$  داریم

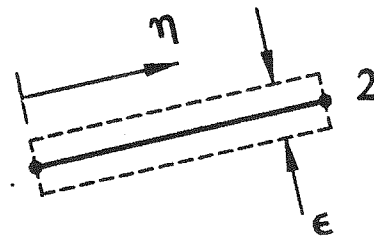
$$I_2(a, b, c, d, e, f, g, h) = \left\{ \frac{a}{d} \xi + \frac{(b - ae)}{d^2} \left[ \ln \left( \xi + \frac{e}{2d} \right) - \frac{(cd - af - \frac{e}{2d})}{bd - ae} \frac{1}{\xi + \frac{e}{2d}} \right] \right\}_{\xi=g}^{\xi=h}$$

ملاحظه می شود که اثر منبع تولید حرارت خطی را می توان به صورت دقیق اعمال نمود. همچنین با تقسیم بندی یک مسیر به تعدادی پاره خط می توان اثر منبع تولید حرارت زوی یک مسیر را نیز به راحتی اعمال

تغییرات خطی برای شدت منبع در نظر گرفته می شود. بدیهی است که مقادیر  $g_1$  و  $g_2$  در واحد طول در نظر گرفته می شوند.



شکل (1) منبع تولید حرارت خطی.



شکل (2) مختصه محلی برای منبع خطی.

شکل (2) مختصه جدید  $\eta$  را روی منبع خطی نشان می دهد. در این شکل سطحی با پهنای بی نهایت کوچک  $\varepsilon$  در اطراف منبع در نظر گرفته شده است که آن را  $\Omega_\varepsilon$  می نامیم. برای محاسبه انتگرال مربوط به این منبع داریم:

$$I_D = \frac{1}{k} \int_{\Omega} g T_i^* d\Omega = \frac{1}{k} \int_{\Omega_\varepsilon} g T_i^* d\Omega$$

با در نظر گرفتن توزیع خطی برای شدت منبع خواهیم داشت،

$$I_D = \frac{1}{k} \int_0^1 \frac{(1-\eta) g_1 + \eta g_2}{\varepsilon} T_i^* \varepsilon l_g d\eta \quad (4)$$

حاصل انتگرال (4) را می توان به صورت عددی یا تحلیلی محاسبه نمود. حاصل تحلیلی این انتگرال عبارتست از،

$$I_D = \frac{-l_g}{2k\pi} I_1(a, b, c, d, e, 0, 1)$$

که در آن،

کرد. در فرمولبندی اجزاء مرزی، اثر منابع تولید حرارت گسترده را نیز می توان اعمال نمود. در رابطه با اعمال اثر منابع تولید حرارت گسترده در مسائل دو بعدی و سه بعدی در مرجع [20] توضیحات مفصلی داده شده است.

### ۳- روابط ماتریسی

معادله ماتریسی نهایی را با در نظر گرفتن  $r$  نقطه مرزی،  $n_p$  منبع نقطه ای و  $n_l$  منبع خطی می توان به صورت زیر نوشت:

$$HT = GQ + A_{gp} F_{gp} + A_{gl} F_{gl} \quad (6)$$

که در آن:

$H, G$ : ماتریسهای ضرایب وابسته به شکل هندسی ( $r \times r$ )

$T$ : بردار دمای  $r$  نقطه مرزی ( $r \times 1$ )

$Q$ : بردار مشتقات نرمال  $r$  نقطه مرزی ( $r \times 1$ )

$F_{gp}$ : بردار شدت حرارت منابع نقطه ای ( $n_p \times 1$ )

$A_{gp}$ : ماتریس ضرایب وابسته به موقعیت منابع نقطه ای ( $r \times n_p$ )

$F_{gl}$ : بردار شدت حرارت منابع خطی ( $2n_l \times 1$ )

$A_{gl}$ : ماتریس ضرایب وابسته به موقعیت منابع خطی ( $r \times 2n_l$ )

همچنین برای  $r'$  نقطه داخلی رابطه ماتریسی زیر حاصل می شود

$$H'T + IT' = G'Q + A'_{gp} F_{gp} + A'_{gl} F_{gl} \quad (7)$$

در معادله ماتریسی (7)  $I$  ماتریس واحد،  $T'$  بردار دمای نقاط داخلی و بقیه ماتریسها مشابه با ماتریسهای تعریف شده در رابطه (6) هستند. با قرار دادن معادلات (6) و (7) در کنار یکدیگر به معادله ماتریسی کلی زیر می رسیم:

$$\begin{bmatrix} H & 0 & -G & -A_{gp} & -A_{gl} \\ H' & I & -G' & -A'_{gp} & -A'_{gl} \end{bmatrix} \begin{bmatrix} T \\ T' \\ Q \\ F_{gp} \\ F_{gl} \end{bmatrix} = 0 \quad (8)$$

از بین اعضای بردارهای  $T, T', Q, F_{gp}, F_{gl}$  و  $F_{gl}$  معلومات را جایگزین کرده دستگاه را به صورت  $AX = B$  مرتب می کنیم. در مسأله مستقیم  $F_{gp}$  و  $F_{gl}$  معلوم بوده و به ازای هر نقطه مرزی یک عضو از  $T$  یا  $T'$  معلوم می باشد.

بدین ترتیب دستگاه معادلات حاصل از لحاظ تعداد معادلات با مجهولات همخوانی خواهد داشت و دستگاه حاصل سالم می باشد. در مسأله معکوس این امکان وجود دارد که بعضی از اعضای بردارهای  $F_{gp}, Q, T', T$  و  $F_{gl}$  معلوم و بعضی دیگر مجهول باشد. مقادیری از  $T'$  که معلوم در نظر گرفته می شوند، مقادیر نمونه برداری نامیده می شود. همچنین اگر در یک نقطه مرزی هر دو مقدار دما و مشتق نرمال دما معلوم باشد، شرایط مرزی در آن نقطه را از نوع فوق مشخص می نامیم. بعد از جایگذاری معلومات و مرتب کردن معادله (8) دستگاه معادلاتی به فرم زیر بدست می آید:

$$AX = B \quad (9)$$

در معادله (9) یا تعداد معادلات با تعداد مجهولات برابر است یا اینکه تعداد معادلات از مجهولات بیشتر است. در حالتیکه تعداد مقادیر نمونه برداری زیاد باشد دستگاه حاصل دارای تعداد معادلات بیشتری نسبت به مجهولات خواهد بود که در این صورت دستگاه مزبور فوق مشخص (Over determined) می باشد و برای حل آن می توان از روشهایی مانند حداقل مربعات و یا تفکیک مقدار منفرد (Singular value decomposition) [4] استفاده نمود. دستگاه (9) بسیار حساس است و در صورت وجود اندکی خطا در مقادیر نمونه برداری (که کمابیش وجود دارد) خطای بسیار بزرگی در نتایج ظاهر می شود. برای کم شدن حساسیت می توان تعداد مقادیر نمونه برداری را زیادتیر کرد و از روشهای هموارسازی [14] استفاده نمود. در یک روش هموارسازی منسوب به تیخانوف [14] حل دستگاه (9) از مینیمم سازی زیر بدست می آید.

$$\min \{ \| AX - B \|^2 + \mu \| RX \|^2 \} \quad (10)$$

که در آن  $R$  ماتریس انتخابگر عضوهای مورد نظر از بردار مجهولات  $X$  است و  $\mu$  بیان کننده مقدار هموارسازی است. حل مسأله بهینه سازی (10) عبارتست از:

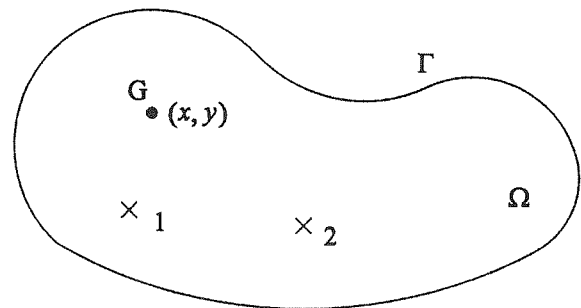
$$X = (A^T A + \mu R^T R)^{-1} A^T B$$

اگر برای  $\mu$  عدد کوچکی در نظر گرفته شود، جواب به

صورت نوسانی در می‌آید و به جواب روش حداقل مربعات نزدیک می‌شود و اگر برای  $\mu$  مقدار بزرگی در نظر گرفته شود جواب هموارتر می‌شود و از مقدار دقیق دور می‌شود. در حالتیکه  $\mu$  به صورت مناسب انتخاب شود  $\|AX - B\|$  نسبت  $\|B\|$  عدد کوچکی است و جواب نیز هموار می‌باشد. البته این شرایط در صورتی بدست می‌آید که تعداد نقاط نمونه برداری به اندازه کافی باشد.

## ۴- مسأله معکوس تعیین محل و وضعیت قرارگیری منابع تولید حرارت نقطه ای و خطی، روش یک همسایه خوب

مطابق با شکل (۳) در نظر بگیرید قرار است مختصات یک منبع تولید حرارت نقطه ای با شدت  $G$  را چنان بدست آوریم که دما در نقاط ۱ و ۲ به ترتیب  $\hat{T}_1$  و  $\hat{T}_2$  باشد.



شکل (۳) دامنه ای با یک منبع تولید حرارت نقطه ای و دو نقطه نمونه برداری.

برای حل مسأله یک تابع ارزش به صورت زیر در نظر می‌گیریم:

$$f = \sqrt{(\hat{T}_1 - T_1)^2 + (T_2 - \hat{T}_2)^2}$$

$T_1$  و  $T_2$  دما در نقاط ۱ و ۲ هستند که با در نظر گرفتن منبع در نقطه ای به مختصات  $(x, y)$  بدست می‌آیند. بنابراین این  $T_1$  و  $T_2$  توابعی از  $x$  و  $y$  هستند و در نتیجه  $f$  هم تابعی از متغیرهای  $x$  و  $y$  می‌باشد. هدف کمینه کردن تابع ارزش  $f$  با متغیرهای طراحی  $x$  و  $y$  است. برای حل این مسأله بهینه سازی چند متغیره می‌توان از روش شدیدترین کاهش (Steepest descent) استفاده کرد. اما نظر به اینکه  $f$  بر حسب  $x$  و  $y$  به صورت صریح موجود نمی‌باشد، لذا مشتق گیری از  $f$  را باید به صورت عددی

انجام داد که این موضوع مشکلاتی را در رابطه با حجم محاسبات و نرخ همگرایی بوجود می‌آورد. در اینجا از یک روش پیشنهادی با مرتبه مشتق گیری صفر استفاده می‌کنیم. این روش را که با عنوان «یک همسایه خوب» معرفی می‌کنیم به شرح ذیل بکار برده می‌شود.

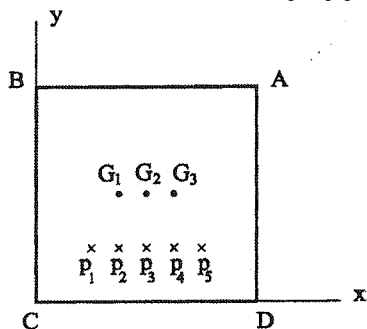
در ابتدا محل منبع را در نقطه  $P_0$  با مختصات  $(x_0, y_0)$  به عنوان حدس اولیه در نظر می‌گیریم و مقدار تابع ارزش را محاسبه می‌کنیم. مقدار اولیه برای تابع ارزش را  $f_0$  می‌نامیم، اکنون مطابق شکل (۴) چهار نقطه  $P_1, P_2, P_3, P_4$  را در چهار طرف نقطه  $P_0$  به فاصله  $\Delta$  از آن در نظر می‌گیریم (شکل ۴). تابع ارزش را در هر یک از این چهار نقطه بدست آورده و در هر مورد که تابع ارزش کاهش پیدا کند، منبع را به آن نقطه انتقال می‌دهیم. اگر مقدار تابع ارزش در یک نقطه از چهار همسایه کاهش پیدا کند منبع را به آن نقطه انتقال می‌دهیم و احتیاجی نیست که مقدار تابع ارزش را در همسایه های دیگر جهت بدست آوردن بهترین همسایه ارزیابی کنیم. در صورتی که مقدار تابع ارزش در هر چهار همسایه بیشتر از مقدار آن در نقطه  $P_0$  باشد، مقدار  $\Delta$  را نصف می‌کنیم. بدیهی است که با انجام مراحل این روش مقدار تابع ارزش کاهش پیدا می‌کند. مراحل مختلف این روش را تا زمانی که  $\Delta$  به اندازه کافی کوچک شود، ادامه می‌دهیم. همچنین شرط توقف را می‌توان کوچک شدن تابع ارزش به اندازه دلخواه در نظر گرفت. در حالتی که مختصات چند منبع نقطه ای مجهول است، در هر مرحله چهار طرف تمام منابع را جهت کاهش دادن تابع ارزش بررسی می‌کنیم. در شرایطی که تعداد مجهولات (مختصات منابع که دو برابر تعداد آنها است) از تعداد دماهای داده شده در نقاط نمونه برداری بیشتر نیست، می‌توان انتظار داشت که تابع ارزش در شرایط ایده آل به صفر برسد. البته روشی که در اینجا ارائه گردید جواب بهینه نسبی را بدست می‌آورد که در بعضی از مسائل ممکن است جواب بهینه نسبی جواب بهینه کلی نباشد. در این موارد باید حدس اولیه نقاط شروع را در چند اجرا در مناطق مختلف در نظر گرفت تا در نهایت به جواب بهینه کلی دست پیدا کنیم. در شکل (۵) نمودار جریان روش یک همسایه خوب جهت حل مسأله معکوس با یک منبع نقطه ای نشان داده شده است. در انواع دیگر مسائل معکوس که هدف بدست آوردن محل و جهت قرارگیری منبع خطی است، تابع ارزش مشابه قبل تعریف می‌شود. متغیرهای طراحی مختصات نقطه وسط منبع خطی (یا هر نقطه

## ۵- مثال‌ها

در این قسمت با ارائه پنج مثال عددی دقت و کارایی روش‌های بیان شده بررسی می‌شود. دو مثال اول به مسائل معکوس نوع اول مربوط می‌شود که در آنها مجهول مسأله شدت منابع تولید حرارت نقطه‌ای و خطی است. همچنین سه مثال دیگر در رابطه با مسائل معکوس نوع دوم مطرح می‌شود که در آنها به ترتیب موقعیت یک منبع نقطه‌ای، موقعیت دو منبع نقطه‌ای و موقعیت و وضعیت یک منبع خطی به عنوان مجهولات مسأله در نظر گرفته می‌شوند.

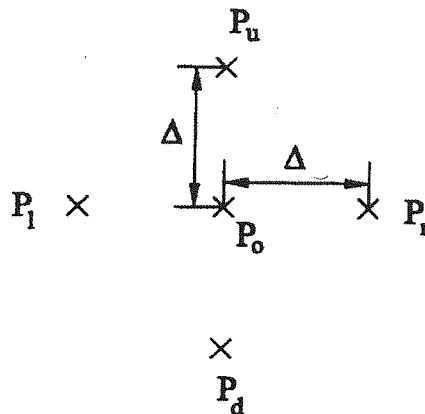
### ۵-۱- بدست آوردن شدت منابع نقطه‌ای در داخل دامنه

در شکل (۶) یک دامنه که تحت شرایط مرزی دیریشله قرار دارد، نشان داده شده است. طول ضلع مربع ۲ متر است و دما در چهار رأس مربع  $T_D = 40^\circ\text{C}$  و  $T_C = 30^\circ\text{C}$ ,  $T_B = 20^\circ\text{C}$ ,  $T_A = 10^\circ\text{C}$  می‌باشد و توزیع دما روی هر ضلع به صورت خطی در نظر گرفته شده است. مقدار ضریب هدایت حرارت  $k = 1 \frac{\text{W}}{\text{m}^\circ\text{C}}$  می‌باشد. در این مسأله سه منبع نقطه‌ای  $G_1$ ,  $G_2$ , و  $G_3$  در نقاط  $(0, 0)$ ,  $(-0.25, 0)$  و  $(0.25, 0)$  در نظر گرفته شده است. این مثال ابتدا به صورت مستقیم با در نظر گرفتن  $G_1 = G_2 = G_3 = 100\text{W}$  و با ۳۲ المان مرزی (تقسیم بندی ریز) حل گردیده است تا دما در نقاط  $P_1$  تا  $P_5$  با دقت نسبتاً خوب به دست آید. در مرحله بعد در حل مسأله معکوس مقادیر  $G_1$ ,  $G_2$ , و  $G_3$  مجهول در نظر گرفته شده است و مقادیر دماها در نقاط  $P_1$  تا  $P_5$  که از حل مسأله با تقسیم بندی ریز بدست آمده است به عنوان ورودی بکار برده شده است. هنگام حل مسأله معکوس ۱۶ المان مرزی (تقسیم بندی درشت) بکار برده شده است. نقاط  $P_1$  تا  $P_5$  در  $y = 0.5$  و به فاصله  $0.25/5$  از یکدیگر قرار دارند.

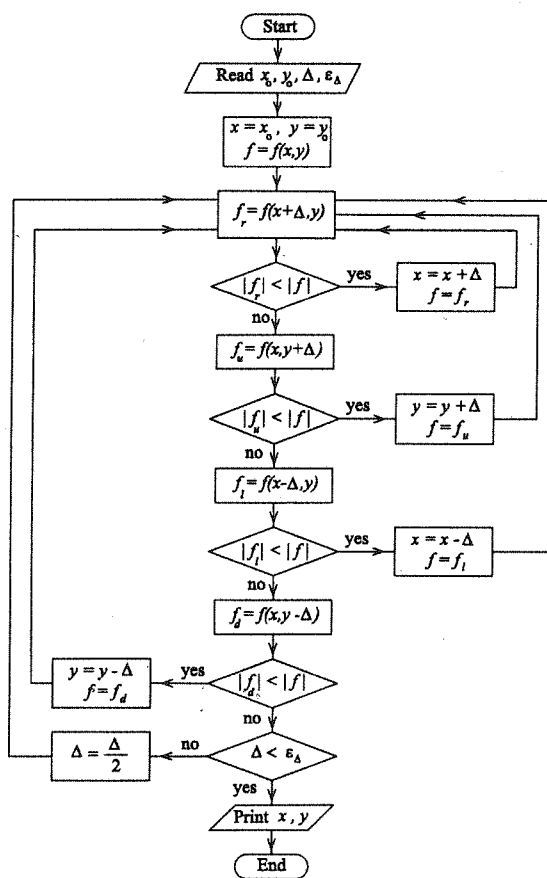


شکل (۶) مسأله معکوس با سه منبع نقطه‌ای.

دیگر آن) و زاویه قرارگیری آن است. در این مورد نیز برای حل مسأله بهینه‌سازی از روش یک همسایه خوب استفاده می‌کنیم. البته بعد از هر حرکت منبع، باید زاویه بهینه منبع در آن نقطه را بدست آورد. زاویه قرارگیری منبع خطی زاویه‌ای بین صفر تا  $360^\circ$  خواهد بود.



شکل (۴) نقطه فعلی و چهار همسایه آن در روش یک همسایه خوب.



شکل (۵) نمودار جریان برای روش بهینه‌سازی «یک همسایه

خوب» و تنها فقط یک منبع وجود داشته باشد.

جدول (۱) نتایج حل مسأله معکوس با اطلاعات ورودی کم خطا را نشان می‌دهد. دمای نقاط  $P_1$  تا  $P_3$  که از حل مسأله مستقیم با تقسیم بندی ریز بدست آمده است، به عنوان ورودی مسأله معکوس در نظر گرفته شده است. عبارت خطا جهت مقادیری که برای شدت منابع بدست می‌آید به صورت زیر تعریف شده است.

$$\text{error} = \sqrt{(G_1 - 100)^2 + (G_2 - 100)^2 + (G_3 - 100)^2}$$

با مشاهده این جدول ملاحظه می‌شود که به علت کم خطا بودن اطلاعات ورودی در نظر گرفتن ضریب هموارساز  $\mu$  ضروری نمی‌باشد و اختصاص دادن مقداری به آن تأثیری در بهبودی نتایج ندارد. همچنین دیده می‌شود که مقدار  $\|AX-B\|$  در حد قابل قبولی قرار دارد. جواب دقیق این مسأله معکوس (در صورتیکه اطلاعات ورودی کاملاً دقیق باشد) عبارتست از  $G_1 = G_2 = G_3 = 100$  و جواب‌های بدست آمده در جدول (۱) خطایی در حدود ۱٪ را نشان می‌دهد. جدول (۲) اجرای دیگری را نشان می‌دهد که در آن اطلاعات ورودی با ۲٪ خطا (افزایش یا کاهش مقادیر دماها در نقاط  $P_1$  تا  $P_3$  به طور اتفاقی) بکار برده شده‌اند. در این جدول برخلاف جدول (۱) دیده می‌شود که اختصاص دادن مقدار غیر صفر برای ضریب هموارساز  $\mu$  تأثیر چشم‌گیری در هموارسازی نتایج دارد. هنگامیکه  $\mu = 10^{-4}$  در نظر گرفته شود، مقدار  $\|AX-B\|$  تنها اندکی نسبت به مقدار آن در  $\mu = 0$  اختلاف دارد. در حالیکه جواب‌های گرفته شده به مراتب هموارتر می‌باشد.

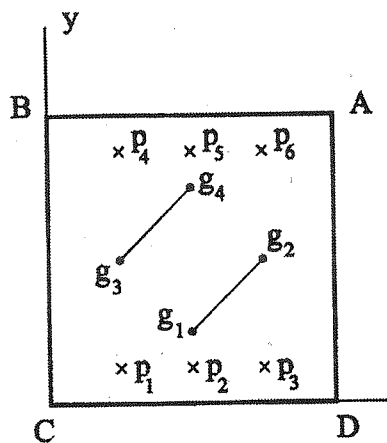
در اجرای دیگر مسأله معکوس با در نظر گرفتن خطای ۵٪ برای اطلاعات ورودی حل گردیده است. یعنی دماهای بدست آمده از حل مسأله مستقیم با تقسیم بندی ریز پس از تغییر ۵٪ در حل مسأله معکوس بکار برده شده‌اند. نتایج این اجرا در جدول (۳) نشان داده شده است. در این مورد برای وقتیکه  $\mu = 0$  است، نوسان جواب‌ها نسبتاً شدید است و ملاحظه می‌شود که به ازای  $\mu = 10^{-3}$  نوسان جواب‌ها تا حدود زیادی کاهش پیدا کرده است. البته در نتایج بدست آمده خطاهایی وجود دارد که از خطای موجود در اطلاعات ورودی نتیجه شده است.

با بررسی جدول‌های (۱) تا (۳) این نتیجه بدست می‌آید که هنگام حل مسأله معکوس جهت بدست آوردن شدت منابع نقطه‌ای، در صورت کم بودن خطای اطلاعات

نمونه برداری می‌توان از مقادیر کم (حتی صفر) برای ضریب هموارساز استفاده نمود، ولی در صورتی که اطلاعات نمونه برداری دارای خطایی بیشتری باشند، باید مقدار بیشتری را برای ضریب هموارساز در نظر گرفت.

## ۲-۵- بدست آوردن شدت منابع خطی در داخل دامنه

در شکل (۷) یک دامنه مربعی شکل با طول ضلع ۲ متر نشان داده شده است. دما در چهار رأس مربع است  $T_D = 40^\circ\text{C}$  و  $T_C = 30^\circ\text{C}$ ,  $T_B = 20^\circ\text{C}$ ,  $T_A = 10^\circ\text{C}$  و توزیع دما روی هر ضلع به صورت خطی در نظر گرفته شده است. مقدار ضریب هدایت حرارت  $k = 1 \frac{\text{W}}{\text{m}^\circ\text{C}}$  می‌باشد. در این مسأله دو منبع خطی  $I_1$  و  $I_2$  با نقاط انتهایی  $(0, 0.5)$ ,  $(0.5, 0)$ ,  $(0, -0.5)$  و  $(-0.5, 0)$  در نظر گرفته شده است. این مسأله ابتدا به صورت مستقیم با در نظر گرفتن  $g_1 = 250 \frac{\text{W}}{\text{m}}$ ,  $g_2 = 500 \frac{\text{W}}{\text{m}}$ ,  $g_3 = 100 \frac{\text{W}}{\text{m}}$  و  $g_4 = 600 \frac{\text{W}}{\text{m}}$  با ۲۲ المان مرزی (تقسیم بندی ریز) حل گردیده است تا دما در نقاط  $P_1$  تا  $P_6$  با دقت نسبتاً خوب بدست آید. برای حل مسأله معکوس در حالت‌های مختلف ۱۶ المان مرزی (تقسیم بندی درشت) بکار گرفته شده است و نتایج بدست آمده از تقسیم بندی ریز به عنوان اطلاعات ورودی برای مسأله معکوس بکار برده شده است.



شکل (۷) مسأله معکوس با دو منبع خطی.

در جدول (۴) نتایج حل چند مسأله معکوس به صورت خلاصه نوشته شده است. در حالت اول به عنوان اطلاعات ورودی چهار دمای نمونه برداری در حالت‌های بعد پنج و شش دمای نمونه برداری در نظر



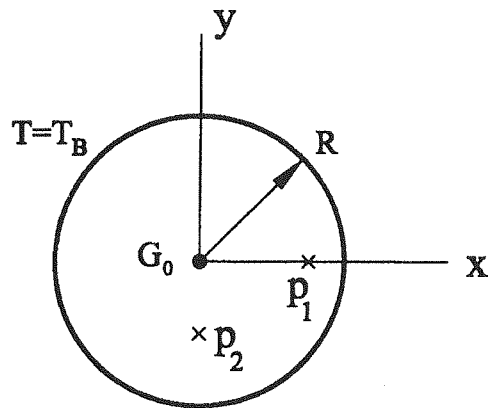
گرفته شده است. در هر مورد مناسب ترین مقدار برای ضریب هموارساز چنان انتخاب گردیده است که خطا (error) مینیمم باشد. در این مسأله خطا به صورت زیر محاسبه گردیده است.

$$\text{error} = \sqrt{(g_1 - 250)^2 + (g_2 - 500)^2 + (g_3 - 200)^2 + (g_4 - 600)^2}$$

با مشاهده جدول (۴) ملاحظه می شود که با افزایش تعداد دماهای نمونه برداری خطای نتایج بدست آمده کمتر می شود و مقدار ضریب هموارساز کمتری لازم خواهد بود. در حالت دیگر اطلاعات ورودی با ۱٪ خطا بکاربرده شده اند و نتایج در جدول (۵) قید گردیده است. در این مورد نیز دیده می شود که با افزایش تعداد نقاط نمونه برداری حساسیت مسأله کاهش پیدا کرده و خطای نتایج کمتر شده است.

### ۳-۵. بدست آوردن موقعیت یک منبع تولید حرارت نقطه ای

در شکل (۸) یک مسأله با دامنه دایره ای شکل نشان داده شده است. در مرکز این دایره یک منبع نقطه ای با شدت  $G_0$  وجود دارد. شعاع دایره  $R$  و مرز آن تحت شرط مرزی  $T = T_B$  قرار گرفته است. ضریب هدایت حرارت وابسته به دما و به صورت  $k = k_0 + \alpha T$  در نظر گرفته می شود.



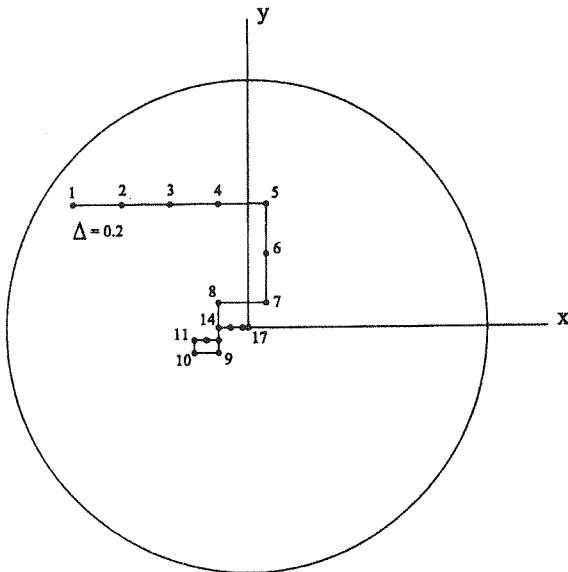
شکل (۸) مسأله غیرخطی با یک منبع نقطه ای.

درجه حرارت دقیق در نقاط مختلف دامنه در رابطه زیر صدق می کند.

$$k_0 (T - T_B) + \frac{1}{2} \alpha (T^2 - T_B^2) = \frac{-G_0}{2\pi} \ln \frac{\rho}{R} \quad (11)$$

در این رابطه  $\rho$  فاصله یک نقطه دلخواه از مرکز دایره و  $T$  درجه حرارت آن نقطه است. در صورتی که  $\alpha = 0.02 \frac{W}{m^2 C^2}$ ,  $k_0 = 1 \frac{W}{m^2 C^2}$ ,  $G_0 = 20W$ ,  $R = 1m$  و  $T_B = 10^\circ C$  انتخاب شوند، درجه حرارت در نقاط  $P_1 (0.75, 0)$  و  $P_2 (0, -0.5)$  با استفاده از رابطه (۱۱) به ترتیب  $T_1 = 10.758$  و  $T_2 = 11.811$  بدست می آید.

در حل مسأله معکوس، مرز مسأله به ۱۲ المان مرزی تقسیم بندی شده است و دما در نقاط  $P_1$  و  $P_2$  معلوم و برابر با نتایج بدست آمده از حل دقیق در نظر گرفته شده است. به عنوان حدس اولیه منبع در نقطه  $(0.5, -0.725)$  قرار داده شده و با استفاده از روش یک همسایه خوب جستجوی جواب بهینه انجام گرفته است. پیشروی روش بهینه سازی در شکل (۹) نشان داده شده است. ملاحظه می شود که در مراحل آخر منبع نقطه ای به مرکز دایره نزدیک شده است.



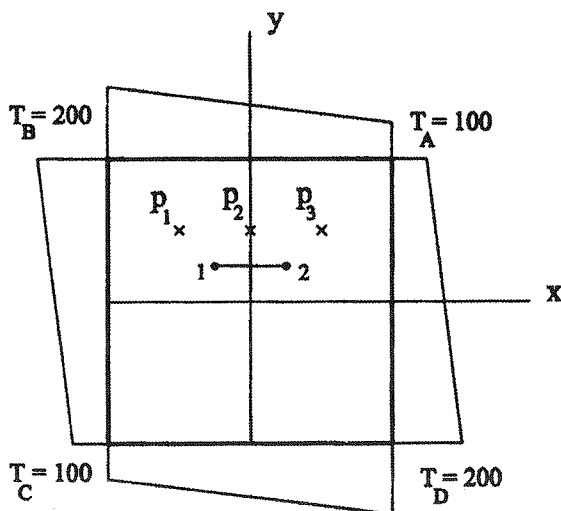
شکل (۹) پیشروی منبع نقطه ای به طرف نقطه بهینه.

### ۴-۵. بدست آوردن موقعیت دو منبع تولید حرارت نقطه ای

مثال قبل یک مسأله بهینه سازی دو متغیره بود در حالیکه مثالی که اکنون مورد بررسی قرار می گیرد یک مسأله بهینه سازی چهار متغیره است. در شکل (۱۰) یک مسأله با دامنه مربعی شکل به طول ضلع  $2m$  نشان داده شده است. این دامنه تحت شرایط مرزی دیرشله به صورت  $T_B = 10^\circ C$  قرار دارد و مقدار ضریب هدایت حرارت  $k = 1 \frac{W}{m^2 C}$  می باشد.

## ۵-۵- بدست آوردن موقعیت و وضعیت قرارگیری منبع تولید حرارت خطی

در شکل (۱۲) یک مسأله با دامنه مربعی شکل به طول ضلع  $2m$  نشان داده شده است. این دامنه مطابق شکل (۱۲) تحت شرایط مرزی دیریشله قرار دارد و ضریب هدایت حرارت  $k = 1 \frac{W}{m^{\circ}C}$  است.

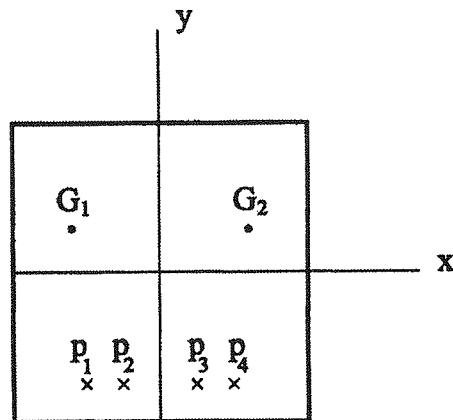


شکل (۱۲) دامنه مربعی با منبع تولید حرارت خطی.

ابتدا یک مسأله مستقیم با در نظر گرفتن یک منبع خطی حل گردیده است. منبع خطی که دارای طول  $0.5m$  است در  $y = 0.25$  قرار دارد و شدت تولید حرارت در ابتدا و انتهای آن  $g_1 = 50 \frac{W}{m}$  و  $g_2 = 100 \frac{W}{m}$  است. با حل مسأله مستقیم، دما در سه نقطه  $P_1(-0.5, 0.5)$ ،  $P_2(0, 0.5)$ ،  $P_3(0.5, 0.5)$  بدست آمده است و به عنوان اطلاعات ورودی برای مسأله معکوس بکار برده شده است. در مسأله معکوس در شروع، منبع خطی با زاویه  $\pi/2$  و در نقطه  $(0, -0.5)$  (مرکز منبع) قرار داده شده است. همچنین فاصله همسایگی در ابتدا  $\Delta = 0.2$  در نظر گرفته شده است. در شکل (۱۳) وضعیت منبع در شروع و در مراحل بعد نشان داده شده است.

## ۶- نتیجه گیری

در روش اجزاء مرزی اثر منابع تولید حرارت نقطه ای و خطی به طور دقیق اعمال می شود. در رابطه با این منابع دو نوع مسأله معکوس تعریف شد. در مسأله معکوس نوع اول که محل و وضعیت قرارگیری منابع



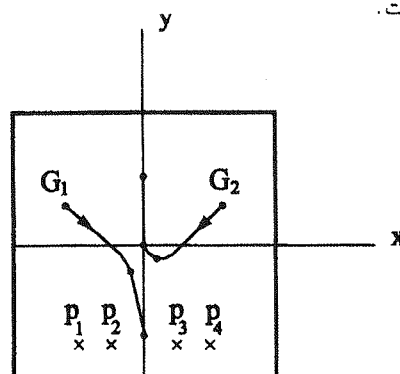
شکل (۱۰) مسأله بدست آوردن موقعیت دو منبع نقطه ای.

هدف بدست آوردن مکان دو منبع نقطه ای  $G_1 = 50W$  و  $G_2 = 50W$  است طوری که دما در نقاط  $P_1(-0.5, -0.75)$ ،  $P_2(-0.25, -0.75)$ ،  $P_3(0.25, -0.75)$  و  $P_4(0.5, 0.75)$  به ترتیب  $13^{\circ}C$ ،  $17^{\circ}C$ ،  $17^{\circ}C$ ،  $13^{\circ}C$  باشد. برای شروع، منابع  $G_1$  و  $G_2$  به ترتیب در نقاط  $(x_1, y_1) = (-0.6, 0.3)$  و  $(x_2, y_2) = (0.6, 0.3)$  در نظر گرفته شده اند. همچنین در شروع، فاصله همسایگی برابر با  $\Delta = 0.1$  انتخاب گردیده است. پیشروی روش بهینه سازی به صورت خلاصه در جدول (۶) بیان گردیده است.

در این مسأله در هر مرحله خطا به صورت زیر محاسبه گردیده است

$$error = \sqrt{(T_1 - 13)^2 + (T_2 - 17)^2 + (T_3 - 17)^2 + (T_4 - 13)^2}$$

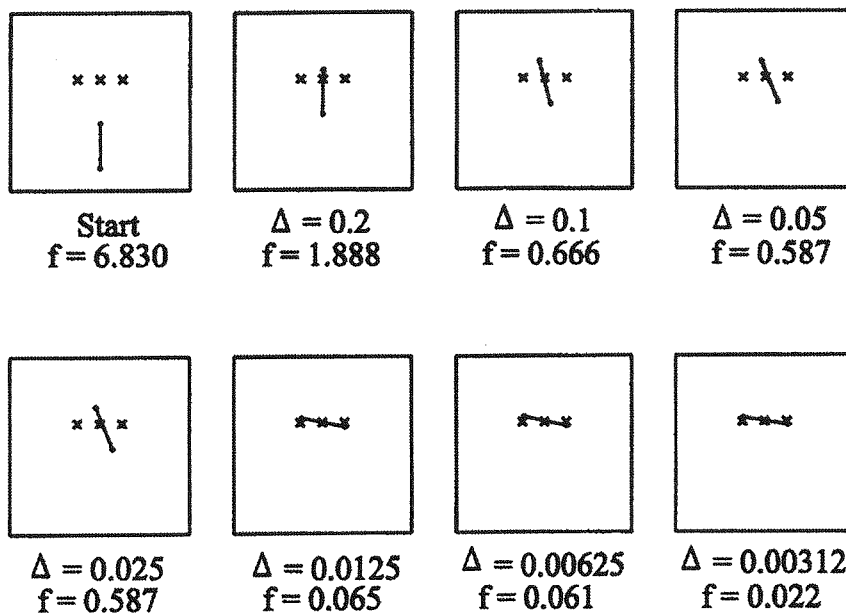
در شکل (۱۱) چگونگی پیشروی روش بهینه سازی با نمایش مکان منابع در چند مرحله منتخب نشان داده شده است.



شکل (۱۱) پیشروی روش بهینه سازی یک همسایه خوب برای بدست آوردن موقعیت دو منبع تولید حرارت نقطه ای.

استفاده قرار گرفت. با استفاده از چند مثال کارایی روش های ارائه شده و همچنین چگونگی همگرایی روش یک همسایه خوب در مسائل خطی و غیرخطی ملاحظه گردید.

معلوم است و باید شدت منابع بدست آورده شود، روش حداقل مربعات با افزودن جمله هموارساز کارایی خوبی را نشان داد. در مسأله معکوس نوع دوم که شدت منابع معلوم است و باید محل و وضعیت قرارگیری منابع بدست آورده شود، روش پیشنهادی یک همسایه خوب مورد



شکل (۱۳) پیشروی روش بهینه سازی یک همسایه خوب برای بدست آوردن موقعیت منبع تولید حرارت خطی.

جدول (۱) نتایج حل مسأله معکوس برای بدست آوردن شدت منابع نقطه ای با اطلاعات ورودی کم خطا، دمای نقاط  $P_1$  تا  $P_5$  که از حل مسأله مستقیم با تقسیم بندی ریز بدست آمده است به عنوان ورودی مسأله معکوس در نظر گرفته شده است.

$\mu$	$G_1$	$G_2$	$G_3$	$\ AX - B\ $	$\ B\ $	error
۰	۹۹/۱	۱۰۱/۱	۹۹/۱	۰/۰۰۶۱	۸۹/۰	۱/۶۸
$۱۰^{-۶}$	۹۹/۰	۱۰۱/۲	۹۹/۰	۰/۰۰۶۴	۸۹/۰	۱/۸۵
$۱۰^{-۵}$	۹۸/۵	۱۰۲/۰	۹۸/۵	۰/۰۱۹۵	۸۹/۰	۲/۹۲
$۱۰^{-۲}$	۹۶/۱	۱۰۶/۵	۹۵/۷	۰/۱۵۰۸	۸۹/۰	۸/۷۲

جدول (۲) نتایج حل مسأله معکوس برای بدست آوردن شدت منابع نقطه ای با ۲٪ خطا در اطلاعات ورودی، دمای نقاط  $P_1$  تا  $P_5$  که از حل مسأله مستقیم با تقسیم بندی ریز بدست آمده است با در نظر گرفتن ۲٪ افزایش یا کاهش (به طور اتفاقی) به عنوان ورودی مسأله معکوس در نظر گرفته شده است.

$\mu$	$G_1$	$G_2$	$G_3$	$\ AX - B\ $	$\ B\ $	error
۰	۱۰۷/۱	۸۳/۲	۱۱۱/۲	۱/۵۶۹۱	۸۹/۱	۱۴/۹
$۱۰^{-۵}$	۱۰۵/۸	۸۵/۶	۱۰۹/۸	۱/۵۶۹۵	۸۹/۱	۱۲/۲
$۱۰^{-۴}$	۹۹/۶	۹۷/۰	۱۰۲/۹	۱/۵۸۶۰	۸۹/۱	۴/۱۹
$۱۰^{-۳}$	۹۲/۶	۱۰۸/۵	۹۳/۷	۲/۰۳۴۷	۸۹/۱	۱۲/۹۱

جدول (۳) نتایج حل مسأله معکوس برای بدست آوردن شدت منابع نقطه‌ای با ۵٪ خطا در اطلاعات ورودی، دمای نقاط  $P_1$  تا  $P_5$  که از حل مسأله مستقیم با تقسیم بندی ریز بدست آمده است با در نظر گرفتن ۵٪ افزایش یا کاهش (به طور اتفاقی) به عنوان ورودی مسأله معکوس در نظر گرفته شده است.

$\mu$	$G_1$	$G_2$	$G_3$	$\ AX - B\ $	$\ B\ $	error
۰	۱۳۹/۱	۱۱/۶	۱۵۹/۸	۷/۸۴۸۵	۸۹/۹	۱۱۳/۷
$10^{-5}$	۱۳۴/۷	۱۹/۸	۱۵۵/۱	۷/۸۴۹۳	۸۹/۹	۱۰۳/۳
$10^{-4}$	۱۱۴/۰	۵۹/۱	۱۳۲	۷/۸۷۶۵	۸۹/۹	۵۳/۸
$10^{-3}$	۹۱/۴	۱۰۱/۸	۱۰۳/۸	۸/۰۵۰۰	۸۹/۹	۹/۵۷

جدول (۴) نتایج حل مسأله معکوس برای بدست آوردن شدت منابع خطی، در حالت اول چهار دمای نمونه برداری و در حالت های بعد پنج و شش دمای نمونه برداری در نظر گرفته شده است.

معلومات	$g_1$	$g_2$	$g_3$	$g_4$	$\mu$ مقدار بهینه	error
$T_1, T_3, T_4, T_6$	۲۳۶/۴	۵۱۰/۷	۲۲۶/۱	۵۷۲/۵	$8 \times 10^{-7}$	۴۱/۷۰
$T_1, T_2, T_3, T_4, T_6$	۲۴۵/۹	۵۰۱/۶	۲۰۴/۷	۵۹۱/۶	۰	۱۰/۵۴
$T_1, T_2, T_3, T_4, T_5, T_6$	۲۴۸/۱	۴۹۸/۹	۱۹۸/۷	۵۹۷/۴	۰	۳/۶۲

جدول (۵) نتایج حل مسأله معکوس برای بدست آوردن شدت منابع خطی، در حالت اول چهار دمای نمونه برداری و در حالت های بعد پنج و شش دمای نمونه برداری با اعمال ۱٪ خطا در نظر گرفته شده است.

معلومات	$g_1$	$g_2$	$g_3$	$g_4$	مقدار بهینه	error
$T_1, T_3, T_4, T_6$	۲۵۷/۳	۴۶۶/۸	۳۰۰/۱	۵۰۳/۳	$10^{-6}$	۱۴۳/۹
$T_1, T_2, T_3, T_4, T_6$	۲۴۱/۱	۵۲۸/۲	۲۸۴/۴	۵۰۲/۱	$7 \times 10^{-7}$	۱۳۲/۶
$T_1, T_2, T_3, T_4, T_5, T_6$	۲۷۰/۲	۵۰۰/۳	۲۱۴/۴	۵۶۴/۸		۴۳/۱

جدول (۶) پیشروی روش بهینه سازی یک همسایه خوب برای بدست آوردن موقعیت دو منبع تولید حرارت نقطه‌ای.

$\Delta$	$x_1$	$y_1$	$x_2$	$y_2$	error
start	-۰/۶	۰/۳	۰/۶	۰/۳	۸/۰۲۶
۰/۱	-۰/۱	-۰/۲	۰/۱	-۰/۱	۲/۱۶
۰/۰۵	۰	-۰/۶۵	۰	۰/۵	۰/۰۸۴۵
۰/۰۲۵	۰	-۰/۶۵	۰	۰/۵۲۵	۰/۰۳۳۹
۰/۰۱۲۵	۰	-۰/۶۵	۰	۰/۵۲۵	۰/۰۳۳۹
۰/۰۰۶۲۵	۰	-۰/۶۵	۰	۰/۵۱۸۷۵	۰/۰۳۰۰
۰/۰۰۳۱۲۵	۰	-۰/۶۵۳۱۲۵	۰	۰/۵۱۵۶۲۶	۰/۰۱۲۵

- [1] M. X. Khadar and M. C. Henna, An Iterative Boundary Numerical Solution for General Steady Heat Conduction Problems, *Trans. ASME J. Heat. Transfer*, Vol. 103, 26-31, (1981).
- [2] C. A. Brebbia and L. C. Wrobel, The Dual Reciprocity Boundary Element Formulation for Non-linear Diffusion Problems, *Computer Methods in Applied Mechanics and Engineering*, Vol. 65, 147-164, (1987).
- [3] J. L. Wearing and M. Sheikh, A Regular Indirect Boundary Element Method for Thermal Analysis, *Int. J. Num. Meth. Engng.*, Vol. 25, 495-515, (1988).
- [4] T. J. Martin and G. S. Dulikravich, Inverse Determination of Boundary Conditions and Sources in Steady Heat Conduction with Heat Generation, *Trans. ASME, J. Heat Transfer*, Vol. 118, 546-554, (1996).
- [5] T. Pasquetti and C. Le Nitliot, Boundary Element Approach for Inverse Heat Conduction Problems: Application to Bidimensional Transient Numerical Experiment, *Num. Heat Transfer, Part B*, Vol. 20, 169-489, (1991).
- [6] D. Lesnic, D. Eliot and D. B. Ingham, Application of the Boundary Element Method to Inverse Heat Conduction Problems, *Int. J. Heat Mass Transfer*, Vol. 39, No. 7, 1503-1517, (1996).
- [7] C. Le Niliot, C. Papini and R. Paquetti, Boundary Element Method for Inverse Heat Conduction Problems, In *Advanced Computational Methods in Heat Transfer*, (Edited by Brebbia, C. A.), 285-295, Springer, New York, (1990).
- [8] K. Kuroisz and A. J. Nowak, Boundary Element Approach to Inverse Heat Conduction Problems, *Engng. Anal. Bound. Elem.*, Vol. 10, 291-297, (1992).
- [9] D. B. Ingham, Y. Yuan and H. Han, The Boundary Element Method for an Improperly Posed Problem, *IMAJ., Appl. Math.*, Vol. 47, 661-700, (1991).
- [10] A. J. Silva Neto and m. N. Ozisik, Simultaneous Estimation of Location and Timewise-Varying Strength of a Plane Heat Source, *Numerical Heat Transfer, Part A*, Vol. 24, 467-477, (1993).
- [11] R. G. Hills, M. Raynaud and E. Hensel, Surface Variance Estimates Using and Adjoint Formulation for a One dimensional Nonlinear Inverse Heat Conduction Technique, *Numer. Heat Transfer*, Vol. 10, 441-461, (1986).
- [12] J. Hadamard, *Lectures on the Cauchy Problems in Linear Partial Differential Equations*, Yale University Press, New Haven, (1923).
- [13] H. V. Beck, B. Blackwell and C. R. ST. Clair, *Inverse Heat Conduction, Ill Posed Problems*, Wiley Interscience, New York, (1985).
- [14] A. N. Tikhonov and V. Y. Arsenin, *Solution of Ill-Posed Problems*, Winston and Sons, Washington D. C., (1977).
- [15] J. Beck, *Nonlinear Estimation Applied to the Nonlinear Inverse Heat Conduction Problem*, *Int. J. Heat Mass Transfer*, Vol. 13, 703-715, (1970).
- [16] O. M. Alifanov, *Inverse Heat Transfer Problems*, Springer, New York, (1994).
- [17] Y. Jarny, M. N. Ozisik and J. P. Bardon, A General Optimization Method Using Adjoint Equation for Solving Multidimensional Inverse Heat Conduction, *Int. J. Heat Mass Transfer*, Vol. 34, 2911-2919, (1991).
- [18] M. N. Ozisik, *Heat Conduction*, Wiley Interscience, New York, (1985).
- [19] C. A. Brebbia, J. C. F. Telles and L. C. Wrobel, *Boundary Element Techniques Theory and Applications in Engineering*, Springer-Verlag. Berlin, Heidelberg, New York and Tokyo, (1984).
- [۲۰] قدرت ا... کرمی و محمد رحیم همتیان، تحلیل اجزاء مرزی هدایت گرمای غیرخطی شامل منابع تولید گرمی نقطه ای، خطی و گسترده با انتگرال گیری تحلیلی، *مجله استقلال*، سال ۱۸،